# Ru/SiC 催化乙酰丙酸水相加氢制备 γ-戊内酯

王静茹1、董宪姝1、樊玉萍1、王英勇2

(1. 太原理工大学 矿业工程学院, 山西 太原 030024; 2. 中国科学院山西煤炭化学研究所 煤转化国家 重点实验室 山西 太原 030001)

摘要:为提高水相体系中催化乙酰丙酸(LA)加氢合成 y-戊内酯(GVL)催化剂的水热稳定性和耐酸稳定性,采用浸渍还原法制备了 Ru 负载量(以 SiC 的质量计,下同)为 3%的 Ru/SiC 催化剂(Ru<sub>3</sub>/SiC)。采用 TEM、XRD、XPS、H<sub>2</sub>-TPR 和 H<sub>2</sub>-TPD 对其进行了表征。将 Ru<sub>3</sub>/SiC 用于催化 LA 加氢反应,对比了不同载体负载的 Ru 基催化剂(Ru<sub>3</sub>/石墨烯、Ru<sub>3</sub>/TiO<sub>2</sub>、Ru<sub>3</sub>/ZrO<sub>2</sub>、Ru<sub>3</sub>/SiO<sub>2</sub>和 Ru<sub>3</sub>/Al<sub>2</sub>O<sub>3</sub>)的性能,考察了反应温度、时间、H<sub>2</sub>压力、溶剂对 Ru<sub>3</sub>/SiC 催化 LA 加氢反应的影响及其循环稳定性。结果表明,Ru<sub>3</sub>/SiC 中的 Ru 纳米粒子〔(2.2 ±0.7) nm〕主要以 Ru<sup>0</sup>的形式均匀分散在 SiC 表面上。Ru<sub>3</sub>/SiC 表现出更高的催化 LA 加氢反应活性,在以 LA(4 mmol)为反应物、去离子水(10 mL)为溶剂、50 mg Ru<sub>3</sub>/SiC 为催化剂、H<sub>2</sub>压力 0.2 MPa、反应温度 50 °C、反应时间 2.0 h 的反应条件下,LA 转化率和 GVL 选择性均接近 100%。Ru<sub>3</sub>/SiC 循环 4 次后,催化活性无明显下降,其高的催化活性归因于 Ru 与 SiC 之间的 Mott-Schottky 接触促进了载体与金属之间的电子转移,富电子的 Ru 纳米颗粒有利于 H<sub>2</sub> 的解离。

关键词: SiC; Ru; 乙酰丙酸; 催化加氢;  $\gamma$ -戊内酯

中图分类号: TQ235; O643.36 文献标识码: A 文章编号: 1003-5214 (2025) 07-1573-07

# Ru/SiC catalyzed aqueous hydrogenation of levulinic acid into γ-valerolactone

WANG Jingru<sup>1</sup>, DONG Xianshu<sup>1</sup>, FAN Yuping<sup>1</sup>, WANG Yingyong<sup>2</sup>

(1. College of Mining Engineering, Taiyuan University of Technology, Taiyuan 030024, Shanxi, China; 2. State Key Laboratory of Coal Conversion, Institute of Coal Chemistry, Chinese Academy of Sciences, Taiyuan 030001, Shanxi, China)

**Abstract:** In order to improve the hydrothermal stability and acid resistance of catalyst for the hydrogenation of levulinic acid (LA) into  $\gamma$ -valerolactone (GVL) in aqueous system, Ru/SiC catalyst with 3% Ru (based on the mass of SiC, the same below) (Ru<sub>3</sub>/SiC) was prepared by impregnation-reduction method and characterized by TEM, XRD, XPS, H<sub>2</sub>-TPR and H<sub>2</sub>-TPD. The catalytic performances of Ru-based catalysts supported by different carriers (Ru<sub>3</sub>/graphene, Ru<sub>3</sub>/TiO<sub>2</sub>, Ru<sub>3</sub>/ZrO<sub>2</sub>, Ru<sub>3</sub>/SiO<sub>2</sub> and Ru<sub>3</sub>/Al<sub>2</sub>O<sub>3</sub>) were evaluated in LA hydrogenation reaction. The influences of temperature, time, hydrogen pressure and solvent on LA hydrogenation catalyzed by Ru<sub>3</sub>/SiC were analyzed. The results showed that Ru nanoparticles [(2.2 ±0.7) nm] in Ru<sub>3</sub>/SiC were mainly in the form of Ru<sup>0</sup> and dispersed uniformly on the SiC surface. Ru<sub>3</sub>/SiC showed higher catalytic activity for LA hydrogenation with both LA conversion and GVL selectivity close to 100%, under the reaction conditions of LA (4 mmol) as reactant, water (10 mL) as solvent, 50 mg Ru<sub>3</sub>/SiC as catalyst, H<sub>2</sub> pressure 0.2 MPa, reaction temperature 50 °C and reaction time 2.0 h. The high catalytic activity of Ru<sub>3</sub>/SiC was attributed to the Mott-Schottky contact between Ru and SiC, which promoted the electron transfer between carrier and metal, and the electron-rich Ru nanoparticles were conducive to H<sub>2</sub> dissociation.

**Key words:** SiC; Ru; levulinic acid; catalytic hydrogenation;  $\gamma$ -valerolactone

收稿日期: 2024-07-04; 定用日期: 2024-07-29; **DOI:** 10.13550/j.jxhg.202400537

基金项目: 山西省青年基金项目(202203021222111); 山西省高等学校科技创新项目(2022L058)

作者简介: 王静茹 (1993—), 女, 博士, 讲师, E-mail: wangjingru@tyut.edu.cn。

煤、石油、天然气等不可再生化石能源具有不可再生性和稀缺性,过度使用带来的诸多生态环境问题已制约人类的可持续发展。因此,开发和利用新的绿色可持续能源已经迫在眉睫。生物质是地球上唯一的可再生绿色有机碳源,可以作为化石能源的替代品生产各种燃料、化学品和碳基材料,其研究受到了人们的广泛关注<sup>[1-3]</sup>。

木质纤维素是生物质的主要组成部分, 乙酰丙 酸(LA)是木质纤维素经多步水解反应得到的一种 重要的生物质基平台化合物,可用于合成和制备医 药、树脂、香料、涂料等高附加值的化学品[4-5]。通 过 LA 及其酯加氢制备的 γ-戊内酯 (GVL) 也是重 要的生物质基平台化合物, 具有毒性低、性质稳定、 环境友好等特点,可用作可再生生物燃料、汽油添 加剂、食品添加剂、食用香精、溶剂以及其他高附 加值化学品合成的原料等[6-8],具有广阔的工业应用 前景。LA 在均相催化剂或非均相催化剂的作用下都 可以进行加氢反应[9]。均相催化剂因结构复杂、成 本高、反应后难分离等缺点限制了其在工业生产中 的应用。非均相催化剂方便回收再利用,其开发受 到广泛关注。在 LA 加氢反应中, 非贵金属催化剂 的活性通常低于贵金属催化剂。MANZER<sup>[10]</sup>研究了 不同负载型金属催化剂(Ir、Rh、Pd、Ru、Pt、Re、 Ni 负载在活性炭、氧化硅、氧化铝载体上)催化 LA 加氢活性,研究发现, Ru/C 的催化活性最高。目前, Ru 基多相催化剂(Ru/ZrO2、Ru/C等)也是最常用 的催化剂[11-15]。然而,大多数 LA 加氢制备 GVL 的 研究仍是在较高压力(2~5 MPa)、较高温度 (>100 ℃)或以1,4-二氧六环或醇类等溶剂为反应 介质的条件下进行[12-14,16-17]。工业上生产 LA 主要是 通过纤维素经酸催化水解得到,该过程伴有大量的 水产生。水在该过程中既是产物也可以作为溶剂促 进反应进行,因此,直接在水相中催化 LA 加氢转 化为 GVL 的工艺,可以避免 LA 的分离和纯化,具 有绿色环保、降低分离成本等优点[18]。但非均相加 氢催化剂的水热稳定性较差,SERRANO-RUIZ等[19] 报道了 Ru/C 催化 LA 加氢反应, Ru/C 连续使用 4次 后, LA 的转化率从 99%降至 42%。WRIGHT 等<sup>[20]</sup> 对 Ru/C 催化质量分数 50%的 LA 水溶液加氢反应的 稳定性进行了研究,结果发现,Ru/C催化剂最初能 够促进 GVL 的定量合成,但催化剂明显失活,LA 的转化率从90%降至68%,并在其他贵金属催化剂 催化反应中也观察到类似的失活现象[21]。因此,如 何开发高效、稳定的催化剂用于 LA 水相加氢制备 GVL 仍是极大的挑战。载体的性质对催化剂的活性 和稳定性有很重要的影响。LA 是一种酸性物质,而 目前研究使用的催化剂载体主要是金属氧化物载 体,如 Al<sub>2</sub>O<sub>3</sub>、SiO<sub>2</sub>、TiO<sub>2</sub>、ZrO<sub>2</sub>等,以及各种碳材料,如碳纳米管、石墨烯等,在高反应温度下,这些载体在酸性环境中会发生不同程度的腐蚀,使载体上的 Ru 组分脱落,这是导致 Ru 基催化剂活性降低的主要原因之一。SiC 在酸性和碱性环境中都非常稳定,即使在苛刻的反应条件下也具有良好的抗耐性,且 SiC 具有机械强度高、导电导热性好等优点,是一种优良的 n 型半导体,将其用作 LA 加氢催化剂载体可能会具有一些独特的优势。

本文拟采用高比表面积 SiC 为载体,通过浸渍还原法制备 Ru/SiC 催化剂。对比其他载体负载的 Ru 基催化剂用于 LA 加氢制备 GVL,考察同等条件下催化剂的性能。以期为温和条件下制备 GVL 以及生物质可再生资源的高效转化提供一定的参考。

# 1 实验部分

#### 1.1 试剂与仪器

 $RuCl_3 \bullet 3H_2O$ (AR)、LA(AR)、异丙醇(AR)、1,4-二氧六环(AR)、环己烷(AR)、苯(AR)、 $TiO_2$  (GR)、 $ZrO_2$  (GR)、 $SiO_2$  (GR)、 $Al_2O_3$  (GR),上海阿拉丁生化科技股份有限公司;无水乙醇、二甲基亚砜(DMSO),AR,天津市风船化学试剂科技有限公司;甲醇、乙腈,AR,天津市四友精细化学品有限公司;石墨烯,GR,中国科学院山西煤炭化学研究所。

WGHX-50 mL 型高压反应釜,西安太康生物科技有限公司; SCION SQ 456 型单四极杆气质联用仪(GC-MS)、TENSOR 27 型傅里叶变换红外漫反射光谱仪(FTIR),德国 Bruker 公司; JEM-2100F 高分辨透射电子显微镜(TEM),日本电子株式会社; D-max/RB-2500 型 X 射线衍射仪(XRD),日本Rigaku 公司; AXIS ULTRA DLD 型 X 射线光电子能谱仪(XPS),日本 Shimadzu 公司; TP-5080 型化学吸附仪,天津市先权工贸发展有限公司; TriStar II 3020 型全自动比表面积与孔隙度分析仪、ASAP 2020 比表面积及孔隙分析仪,美国麦克仪器公司; WP-UP-IV-20 超纯水制水机,四川沃特尔水处理设备有限公司。

### 1.2 制备方法

参照文献[22]采用溶胶-凝胶法和碳热还原工艺制备了比表面积为 45.6 m²/g 的立方 SiC( 20~40 目 )。

采用浸渍还原法制备 Ru 负载 SiC 催化剂。将 200 mg SiC 和 1.23 mL RuCl<sub>3</sub>水溶液(质量浓度为 10 g/L)分散在 10 mL 无水乙醇中,室温下搅拌 4 h 得到悬浮液;然后,将悬浮液加热至 80 °C,直至液体蒸发完毕得到固体;再将固体置于 100 °C 烘箱

中干燥 5h, 研磨成粉末,得到催化剂前驱体;最后,在管式还原炉中用体积分数 5%的  $H_2/Ar$  还原(常压、220  $^{\circ}$ C、2h) 催化剂前驱体,即得 Ru 负载量(以 SiC 质量为基准,下同)为 3%的 Ru/SiC 催化剂,记为  $Ru_3/SiC$ 。

采用上述相同的制备方法,固定其他条件不变,只改变载体为石墨烯、 $TiO_2$ 、 $ZrO_2$ 、 $SiO_2$ 、 $Al_2O_3$ ,得到了相同负载量(3%)的 Ru 负载石墨烯、 $TiO_2$ 、 $ZrO_2$ 、 $SiO_2$ 、 $Al_2O_3$  催化剂,分别记为 Ru<sub>3</sub>/石墨烯、Ru<sub>3</sub>/ $TiO_2$ 、Ru<sub>3</sub>/ $ZrO_2$ 、Ru<sub>3</sub>/ $ZrO_2$ 、Ru<sub>3</sub>/ $ZrO_2$ 、Ru<sub>3</sub>/ $ZrO_3$ 。

#### 1.3 表征方法与性能测试

TEM 测试: 加速电压 200 kV, 点分辨率 0.23 nm。 XRD 测试: 靶材 Cu, 管电压 40 V, 管电流 40 mA, Kα射线波长 0.1541 nm, 扫描速率 4 (°)/min, 扫描 范围 2θ=2°~80°。XPS 测试: 单色化 Al 靶为 X 射线 源(Al K<sub>α</sub> hv=1486.6 eV), 并以 C 1s(284.8 eV)为 基准对数据进行校正。催化剂的 H2-TPR 和 H2-TPD 实验是在化学吸附仪上进行,根据催化剂的粒径 (20~40目), 采用热导检测器(TCD)检测信号。 原位 FTIR 测试: 以单束光模式进行采集, 分辨率 4 cm<sup>-1</sup>, 波数范围 2000~1000 cm<sup>-1</sup>, 光谱仪使用有液 氮冷却的 MCT-B 检测器。催化剂和载体比表面积是 在全自动比表面积与孔隙度分析仪上进行测定,样 品在 300 ℃下真空脱气处理 8 h, 然后在液氮中冷却 至-196 ℃,在比表面积及孔隙分析仪上进行微孔分 析,得到样品的吸、脱附比表面积采用 Brunauer-Emmett-Teller(BET)法进行计算。

# 1.4 催化剂性能评价

催化剂活性评价是在 50 mL 不锈钢高压反应釜中进行。将 50 mg 新制备的催化剂加入到反应釜中,并称取 0.41 mL (4 mmol) LA、10 mL 去离子水加入到反应釜中,密封反应釜。 $H_2$ 置换 3 次,然后充入 0.2 MPa  $H_2$ ,设置反应温度为 50 ℃,并在磁力搅拌状态下反应 2.0 h。反应结束后,待反应釜温度降至室温,取出反应液,通过有机滤膜过滤、减压蒸馏后得到产物。

产物用 GC-MS 进行定量分析,采用外标法计算。色谱柱为 HP-5 毛细管柱(30 m×25 m×0.25  $\mu$ m),氦气为载气,程序升温为:40 °C恒温 2 min,以 10 °C/min 的升温速率升温至 220 °C,恒温 2 min。 LA 转化率( $C_{LA}$ )和 GVL 选择性( $S_{GVL}$ )按式(1)和式(2)计算:

$$C_{\rm LA} / \% = \frac{B_{\rm LA} - A_{\rm LA}}{B_{\rm LA}} \times 100$$
 (1)

$$S_{\text{GVL}} / \% = \frac{A_{\text{GVL}}}{B_{\text{LA}} - A_{\text{LA}}} \times 100$$
 (2)

式中:  $A_{LA}$ 为反应后物质的量, mmol;  $B_{LA}$ 为反应

前 LA 的物质的量, mmol;  $A_{GVL}$  为生成 GVL 的物质的量, mmol。

#### 1.5 催化反应条件考察实验

按 1.4 节实验方法进行,以 LA (4 mmol) 为反应物,在催化剂用量 50 mg 时,进行 LA 的氢转移反应。通过改变反应温度、 $H_2$ 压力、反应时间和溶剂,考察了反应条件对催化性能的影响。

#### 1.5.1 反应温度的影响

在以 LA(4 mmol)为反应物、去离子水(10 mL)为溶剂、 $H_2$ 压力 0.2 MPa、反应时间 2.0 h 的条件下,考察不同反应温度(25、30、40、50、60  $^{\circ}$ C)对 Ru<sub>3</sub>/SiC 催化 LA 加氢反应的影响。

#### 1.5.2 H<sub>2</sub>压力的影响

在以 LA(4 mmol)为反应物、去离子水(10 mL) 为溶剂、反应温度 50 ℃、反应时间 2.0 h 条件下, 考察不同  $H_2$ 压力(0.2、0.5、1.0、1.5、2.0 MPa) 对  $Ru_3$ /SiC 催化 LA 加氢反应的影响。

#### 1.5.3 反应时间的影响

在以 LA(4 mmol)为反应物、去离子水(10 mL)为溶剂、 $H_2$ 压力 0.2 MPa、反应温度 50 ℃的条件下,考察不同反应时间(0.5、1.0、1.5、2.0、2.5 h)对 Ru<sub>3</sub>/SiC 催化 LA 加氢反应的影响。

#### 1.5.4 反应溶剂的影响

在以 LA(4 mmol)为反应物、溶剂 10 mL、 $H_2$ 压力 0.2 MPa、反应温度 50  $^{\circ}$ C、反应时间 2.0 h的条件下,考察不同反应溶剂(去离子水、异丙醇、甲醇、乙醇、1,4-二氧六环、乙腈、DMSO、环己烷、苯)对  $Ru_3$ /SiC 催化 LA 加氢反应的影响。

#### 1.6 催化剂稳定性

催化剂的循环使用实验:以 0.41 mL(4 mmol) LA 为原料、10 mL 去离子水、50 mg Ru<sub>3</sub>/SiC 催化剂、在 0.2 MPa H<sub>2</sub>压力、50 °C下反应 2.0 h。反应结束后,反应液及催化剂在高速离心机上离心 10 min;将反应液取出,用去离子水将固体催化剂洗涤 3 次,然后用于下次实验。

# 2 结果与讨论

#### 2.1 表征分析

#### 2.1.1 TEM 分析

图 1 为 Ru<sub>3</sub>/SiC 的 TEM 图和催化剂表面 Ru 纳米粒子的粒径分布图。

从图 1 可以看出, Ru 纳米粒子均匀地分散在 SiC 表面上(图 1a), 分散在 SiC 载体上的金属 Ru 的晶面间距为 0.202 nm(图 1b), Ru 纳米粒子的平均粒径为( $2.2\pm0.7$ ) nm(图 1c), 对应于 Ru(101)晶面<sup>[23]</sup>,表明 Ru<sub>3</sub>/SiC 中的 Ru 纳米粒子主要以 Ru<sup>0</sup>的形式存在。

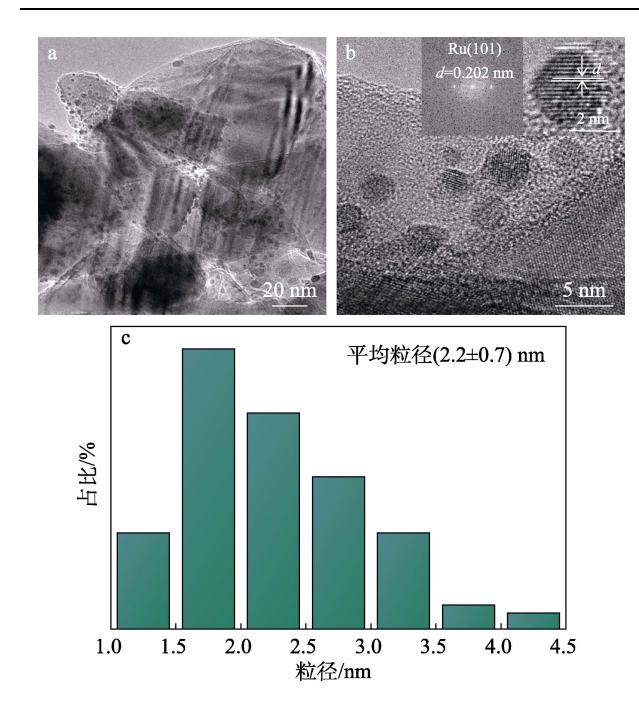


图 1 Ru<sub>3</sub>/SiC 在不同放大倍数下的 TEM 图 (a、b)及 Ru 纳米粒子的粒径分布图 (c)

Fig. 1 TEM images of Ru<sub>3</sub>/SiC at different magnifications (a, b) and particle size distribution diagram of Ru nanoparticles (c)

#### 2.1.2 XRD 分析

图 2 为载体 SiC 和 Ru<sub>3</sub>/SiC 的 XRD 谱图。

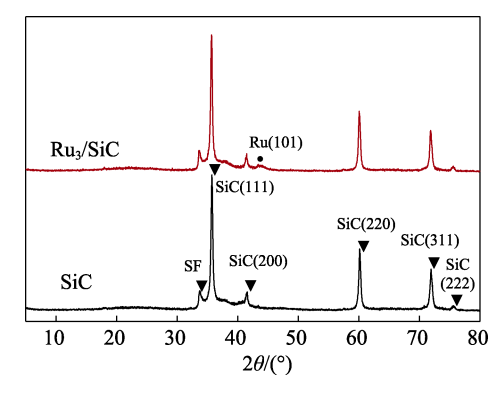


图 2 SiC 和 Ru<sub>3</sub>/SiC 的 XRD 谱图 Fig. 2 XRD patterns of SiC and Ru<sub>3</sub>/SiC

从图 2 可以看出, SiC 显示的强衍射峰对应立方晶型  $\beta$ -SiC 的衍射峰,位于  $2\theta$ =35.7°、41.4°、60.1°、71.8°和 75.6°分别对应  $\beta$ -SiC 的(111)、(200)、(220)、(311)、(222)晶面,表明制备的载体 SiC 具有良好的晶型结构<sup>[24]</sup>。2 $\theta$ =44.0°的弱衍射峰归属于金属 Ru 的特征峰,对应 Ru(101)晶面<sup>[25]</sup>,这与 TEM 结果一致。2.1.3 XPS 分析

图 3 为 Ru<sub>3</sub>/SiC 的 XPS 谱图。

从图 3 可以看出,结合能 463.0 eV(Ru  $3p_{3/2}$ )和 485.3 eV(Ru  $3p_{1/2}$ )归属于 Ru<sup>0</sup>。由文献[26]可知,Ru  $3p_{3/2}$  和 Ru  $3p_{1/2}$  结合能标准值分别为 466.1 和 488.4 eV。

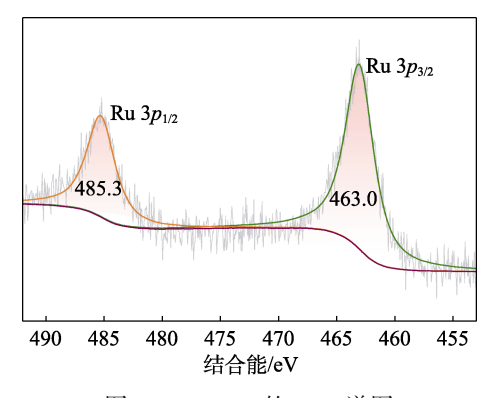


图 3 Ru<sub>3</sub>/SiC 的 XPS 谱图 Fig. 3 XPS spectrum of Ru<sub>3</sub>/SiC

图 3 中 SiC上 Ru 纳米粒子的结合能向低结合能方向偏移,说明 Ru 纳米粒子表面富电子。这是因为,SiC 是一种 n型半导体,其功函数为 4.00 eV, Ru 的功函数为 4.71 eV,当 Ru 负载在 SiC 表面时,金属与 SiC 之间存在 Mott-Schottky 接触,促使 SiC 表面电子向 Ru 纳米粒子转移,这将在加氢过程中触发氢溢流。

#### 2.1.4 H<sub>2</sub>-TPD 分析

图 4 为载体 SiC 和 Ru<sub>3</sub>/SiC 的 H<sub>2</sub>-TPD 曲线。

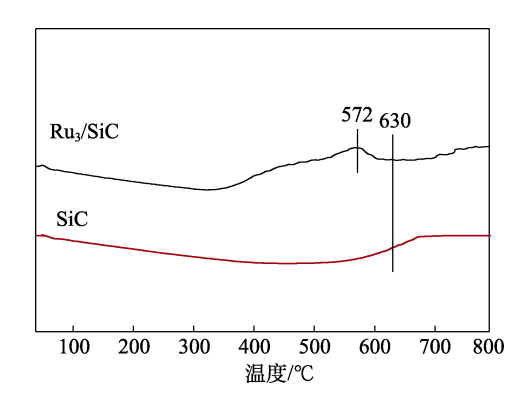


图 4 SiC 和 Ru $_3$ /SiC 的 H $_2$ -TPD 曲线 Fig. 4 H $_2$ -TPD profiles of SiC and Ru $_3$ /SiC

从图 4 可以看出,Ru<sub>3</sub>/SiC 在 40~60 ℃有一个弱的 H<sub>2</sub>解吸峰,这可能是由 H<sub>2</sub>的物理吸附或弱化学吸附引起的;在 350~580 ℃出现 1 个较宽的 H<sub>2</sub>脱附峰,在 572 ℃时最大,这是由于,Ru 粒子对 H<sub>2</sub>的解吸。随着温度的继续升高,H<sub>2</sub>脱附速率仍上升,直至 800 ℃,这可能是由 SiC 表面的氢物种脱附所致[<sup>27-28]</sup>。载体 SiC 表面的 H<sub>2</sub>解吸开始于 670 ℃左右,而 Ru<sub>3</sub>/SiC 这个位置的 H<sub>2</sub>解吸降至 630 ℃,且 H<sub>2</sub>脱附显著增加,表明氢物种与 SiC 表面的相互作用减弱。这主要是由从金属表面溢出的 H<sub>2</sub>在 SiC 表面进行脱附导致的,表明 H<sub>2</sub>的吸附位点既有金属 Ru,也有 SiC。

#### 2.2 催化剂性能分析

表 1 为 Ru 负载不同载体催化剂的催化性能。

表 1 Ru 催化剂的性能 Table 1 Performance of Ru catalysts

催化剂	LA 转化率/%	GVL 选择性/%
Ru <sub>3</sub> /SiC	100	100
Ru <sub>3</sub> /石墨烯	62	98.2
Ru <sub>3</sub> /TiO <sub>2</sub>	51	99.1
$Ru_3/ZrO_2$	50	98.3
$Ru_{3}/Al_{2}O_{3}$	47	99.2
Ru <sub>3</sub> /SiO <sub>2</sub>	32	97.3

从表 1 可以看出,在相同反应条件下,Ru<sub>3</sub>/SiC 具有最好的催化活性,LA 转化率和 GVL 选择性均 达到 100%。

表 2 为不同载体的 BET 比表面积和功函数[23]。

表 2 不同载体的 BET 比表面积和功函数
Table 2 BET specific surface area and work function of different supports

项目	载体					
グロ	石墨烯	SiC	TiO <sub>2</sub>	ZrO <sub>2</sub>	$Al_2O_3$	SiO <sub>2</sub>
功函数/eV	4.60	4.00	4.51~5.62	4.76	5.22	5.52
比表面积/(m²/g)	390.8	45.6	15.9	27.7	279.4	300.6

从表 2 可以看出, 载体的比表面积对催化活性有 一定的影响,如石墨烯的比表面积最大 $(390.8 \text{ m}^2/\text{g})$ , 其催化活性比 TiO<sub>2</sub>、ZrO<sub>2</sub>、Al<sub>2</sub>O<sub>3</sub>、SiO<sub>2</sub>载体要好。 但与比表面积更大的  $Al_2O_3$  (279.4  $m^2/g$ )、 $SiO_2$ (300.6 m²/g) 载体相比, 具有中等比表面积的 SiC (45.6 m<sup>2</sup>/g) 制备的 Ru<sub>3</sub>/SiC 活性最高, 说明金属 与载体之间的电子相互作用是影响其催化活性的 主要因素。催化剂活性和金属/载体之间的功函数差 有一定的对应关系。Ru 的功函数是 4.71 eV, 当载 体的功函数越大, 即金属与载体之间的功函数差越 大,催化剂的活性越差。SiC 具有最低的功函数 (4.00 eV), 因此, Ru<sub>3</sub>/SiC 具有更高的活性, 而 Al<sub>2</sub>O<sub>3</sub> (5.22 eV)、SiO<sub>2</sub> (5.52 eV)的功函数高于 Ru 的功函数,因此,Ru<sub>3</sub>/Al<sub>2</sub>O<sub>3</sub>和Ru<sub>3</sub>/SiO<sub>2</sub>催化活性较 差。结合催化剂的表征结果, SiC 载体与 Ru 之间存 在相互作用, Ru 和 SiC 之间的 Mott-Schottky 接触 能够促使 SiC 表面的电子向 Ru 转移, 富电子的 Ru 有利于 H<sub>2</sub>在 Ru 纳米粒子表面的解离,同时解离的 氢溢流到 SiC 表面,这些溢流氢能够与 SiC 表面的 Si 原子键合,活化周围的惰性表面,使之成为催化 活性表面,且能够较容易地在 SiC 表面迁移<sup>[27]</sup>,最 终提高了 Ru<sub>3</sub>/SiC 的催化活性。

#### 2.3 催化条件优化

#### 2.3.1 反应温度的影响

图 5 为反应温度对  $Ru_3/SiC$  催化 LA 加氢反应的影响。

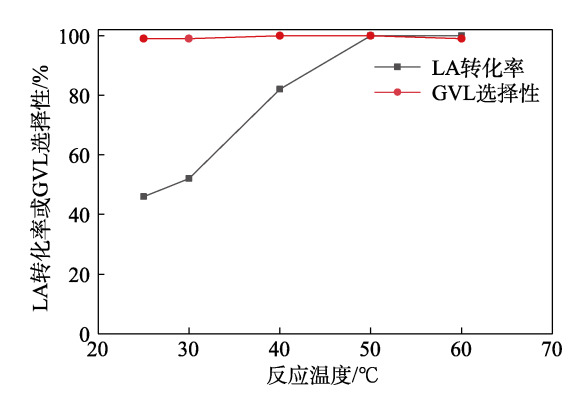


图 5 反应温度对 Ru<sub>3</sub>/SiC 催化 LA 加氢反应的影响 Fig. 5 Effect of reaction temperature on Ru<sub>3</sub>/SiC catalyzed LA hydrogenation reaction

从图 5 可以看出,在考察的温度范围内,Ru<sub>3</sub>/SiC 催化 LA 加氢反应的目标产物 GVL 的选择性很高,但 LA 的转化率随着反应温度的升高而逐渐增大,从 25 ℃的 46%到 40 ℃的 82%,直至 50~60 ℃时,LA 的转化率达到并稳定在 100%,表明反应温度主要影响 LA 的转化率。

# 2.3.2 H<sub>2</sub>压力的影响

图 6 为  $H_2$  压力对  $Ru_3/SiC$  催化 LA 加氢反应的影响。

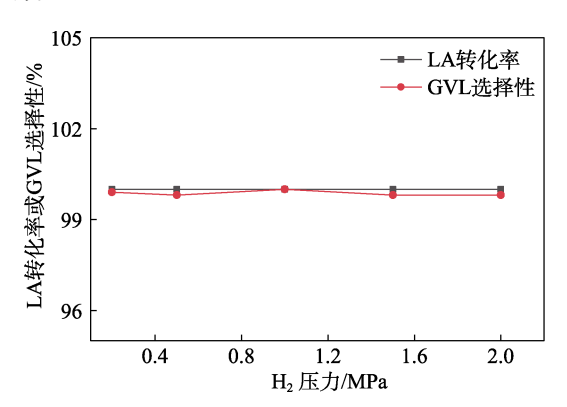


图 6 H<sub>2</sub>压力对 Ru<sub>3</sub>/SiC 催化 LA 加氢反应的影响 Fig. 6 Effect of H<sub>2</sub> pressure on Ru<sub>3</sub>/SiC catalyzed LA hydrogenation reaction

从图 6 可以看出, $H_2$ 压力对反应的影响不大,在考察的  $H_2$ 压力范围内,LA 转化率和 GVL 选择性都能达到约 100%。相较于其他文献[13-14,17]报道的 LA 催化加氢反应大多数是在较高的  $H_2$ 压力( $2\sim5$  MPa)下进行,SiC 作为载体的  $Ru_3/SiC$  具有一定的优势。 2.3.3 反应时间的影响

图 7 为反应时间对  $Ru_3/SiC$  催化 LA 加氢反应的影响。

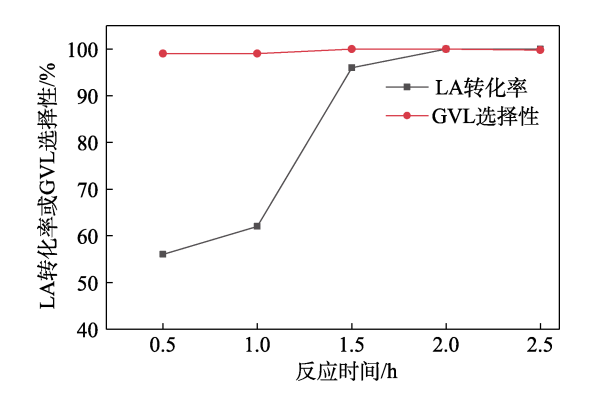


图 7 反应时间对 Ru<sub>3</sub>/SiC 催化 LA 加氢反应的影响 Fig. 7 Effect of reaction time on Ru<sub>3</sub>/SiC catalyzed LA hydrogenation reaction

从图 7 可以看出,随着反应时间的延长,LA 转 化率逐渐增大,GVL 的选择性一直保持在 100%左 右。反应 2.0 h后,LA 转化率达到 100%。此后继 续延长反应时间,反应收率几乎不变。

#### 2.3.4 反应溶剂的影响

表 3 为反应溶剂对 Ru<sub>3</sub>/SiC 催化 LA 加氢反应的 影响。

表 3 溶剂对 Ru<sub>3</sub>/SiC 催化 LA 加氢反应的影响 Table 3 Effect of solvent on Ru<sub>3</sub>/SiC catalyzed LA hydrogenation reaction

, 8				
溶剂	LA 转化率/%	GVL 选择性/%		
去离子水	100	100		
异丙醇	61	99.7		
无水乙醇	35	99.6		
甲醇	8	99.8		
二氧六环	6	99.8		
乙腈	2	99.2		
DMSO	<1	100		
环己烷	<1	100		
苯	<1	100		

从表 3 可见,以去离子水为溶剂,Ru<sub>3</sub>/SiC 催化LA 加氢反应的 LA 转化率和 GVL 选择性均为最高(100%)。使用其他溶剂时,GVL 选择性保持在99.2%~100%,差异不大,但 LA 转化率差异较大。质子溶剂,如异丙醇(LA 转化率 61%)、无水乙醇(LA 转化率 35%)等有利于反应进行。这可能是因为,一方面,质子溶剂的氢原子参与了 LA 中 C=O基团的加氢,降低了反应能垒,从而提高了加氢活性[<sup>28-29]</sup>;另一方面,LA 是一种酸性物质,酸性悬浮液中的水分子可以解离出 OH<sup>-</sup>和 H<sup>+</sup>,在 SiC 表面形成 Si—H 和 Si—OH,SiC 表面的羟基物种有利于进行加氢反应<sup>[30-31]</sup>。醇类虽然也含有—OH,但难以得到 OH<sup>-</sup>,因此,醇作为溶剂反应活性没有水好,也表明使用 SiC 载体在水相加氢反应中具有一定的优势。

综上所述,优化后的反应条件为:以 LA (4 mmol)为反应物、去离子水(10 mL)为溶剂、 $50 \text{ mg Ru}_3/\text{SiC}$ 为催化剂、 $H_2$ 压力 0.2 MPa、反应温度  $50 \,^{\circ}$ C、反应时间  $2.0 \, \text{h}$ 。此条件下的 LA 转化率和 GVL 选择性均接近 100%。

#### 2.4 反应物吸附分析

图 8 为 LA 在 SiC 和 Ru<sub>3</sub>/SiC 表面吸附的原位 FTIR 谱图。

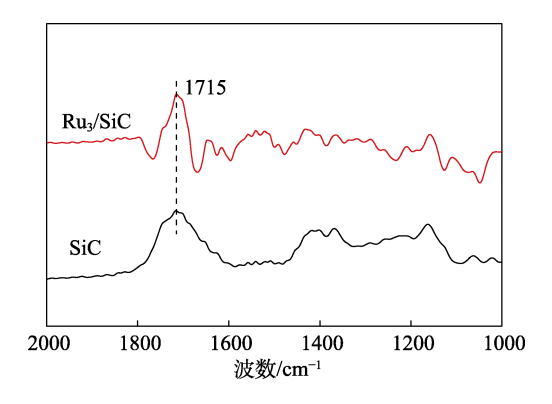


图 8 LA 在 SiC 和 Ru<sub>3</sub>/SiC 表面吸附的原位 FTIR 谱图 Fig. 8 In situ FTIR spectra of LA adsorbed on SiC and Ru<sub>3</sub>/SiC

从图 8 可以看出,1715 cm<sup>-1</sup> 附近为 LA 中 C=O 键的伸缩振动吸收峰,C=O 键的吸收峰在载体 SiC 和 Ru<sub>3</sub>/SiC 上几乎不发生偏移,表明 LA 的吸附主要发生在 SiC 表面。同时溢流的氢可以与 LA 在 SiC 表面发生反应,极大地促进 LA 加氢反应的进行。

# 2.5 催化剂稳定性分析

图 9 为 Ru<sub>3</sub>/SiC 催化 LA 加氢反应的稳定性考察结果。

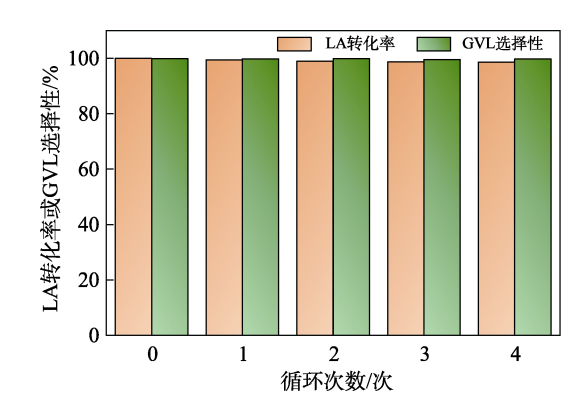


图 9 Ru<sub>3</sub>/SiC 催化 LA 加氢反应的稳定性 ig. 9 Stability of LA hydrogenation reaction catalyzed by Ru<sub>3</sub>/SiC

从图 9 可以看出,经过 4 次循环反应,催化剂活性没有明显下降,LA 转化率降至 98.6%,GVL选择性约 100%,表明 Ru<sub>3</sub>/SiC 具有较高的稳定性。这主要是由于 Ru 纳米颗粒在 SiC 表面具有良好的分散性且不容易团聚。

# 3 结论

通过浸渍还原法制备了 Ru 负载量为 3%的 Ru<sub>3</sub>/SiC 催化剂,将其用于催化 LA 加氢反应合成 GVL。

- (1) Ru<sub>3</sub>/SiC 上, Ru 纳米粒子(约 2.2 nm)均匀分散在 SiC 表面。与其他载体负载的 Ru 基催化剂(Ru<sub>3</sub>/石墨烯、Ru<sub>3</sub>/TiO<sub>2</sub>、Ru<sub>3</sub>/ZrO<sub>2</sub>、Ru<sub>3</sub>/SiO<sub>2</sub>和Ru<sub>3</sub>/Al<sub>2</sub>O<sub>3</sub>)相比, Ru<sub>3</sub>/SiC 表现出更高的活性
- (2) Ru<sub>3</sub>/SiC 催化 LA 加氢反应优化条件为:以LA(4 mmol)为反应物、去离子水(10 mL)为溶剂、50 mg Ru<sub>3</sub>/SiC 为催化剂、H<sub>2</sub>压力 0.2 MPa、反应温度 50 ℃、反应时间 2.0 h。此条件下的 LA 转化率和 GVL 选择性均接近 100%。
- (3) Ru<sub>3</sub>/SiC 较高的催化活性主要归因于 SiC 是一种性能优良的半导体,当 Ru 负载在 SiC 表面时,由于金属与载体之间的 Mott-Schottky 接触,使 SiC 表面的电子向 Ru 纳米粒子转移,导致 Ru 表面富电子,提高了 Ru 纳米粒子解离氢的能力,从而大大提高了 Ru<sub>3</sub>/SiC 催化活性。
- (4)  $Ru_3/SiC$  循环使用 4 次后,活性无明显下降。其稳定性归因于 SiC 具有良好的耐酸性和相对较高的比表面积(45.6  $m^2/g$ ),能分散和稳定 Ru 纳米颗粒。

本文制备的 Ru/SiC 在较为温和的反应条件下表现出优良的催化 LA 加氢性能,具有较好的应用前景。但目前加氢反应仅在 50 mL 高压釜中进行,未进行放大实验考察。此外,后续将在对 SiC 基催化剂深入认识的基础上,拓宽该类催化剂在生物质转化反应中的应用。

# 参考文献:

- [1] ARMAROLI N, BALZANI V. The future of energy supply: Challenges and opportunities[J]. Angewandte Chemie International Edition, 2007, 46: 52-66.
- [2] HUBER G W, IBORRA S, CORMA A. Synthesis of transportation fuels from biomass chemistry, catalysts, and engineering[J]. Chemical Reviews, 2006, 106: 4044-4098.
- KLASS D L. Biomass for renewable energy and fuels[J]. Encyclopedia of Energy, 2004, 1: 193-212.
- [4] YAN K, JARVIS C, GU J, et al. Production and catalytic transformation of levulinic acid: A platform for speciality chemicals and fuels[J]. Renewable and Sustainable Energy Reviews, 2015, 51: 986-997.
- [5] SHIVHARE A, KUMAR A, SRIVASTAVA R. An account of the catalytic transfer hydrogenation and hydrogenolysis of carbohydrate derived renewable platform chemicals over non-precious heterogeneous metal catalysts[J]. ChemCatChem, 2020, 13(1): 59-80.
- [6] ALONSO D M, WETTSTEI S G, DUMESIC J A. Gamma-valerolactone, a sustainable platform molecule derived from lignocellulosic biomass [J]. Green Chemistry, 2013, 15: 584-595.
- [7] ZHU S H, XUE Y F, GUO J, *et al.* Integrated conversion of hemicellulose and furfural into γ-valerolactone over Au/ZrO<sub>2</sub> catalyst

- combined with ZSM-5[J]. ACS Catalysis, 2016, 6: 2035-2042.
- [8] XU R, LIU K, DU H S, et al. Falling leaves return to their roots: A review on the preparation of γ-valerolactone from lignocellulose and its application in the conversion of lignocellulose[J]. ChemSusChem, 2020. 13: 6461-6476.
- [9] MEHDI H, FÁBOS V, TUBA R, et al. Integration of homogeneous and heterogeneous catalytic processes for a multi-step conversion of biomass: From sucrose to levulinic acid, γ-valerolactone, 1,4-pentanediol, 2-methyl-tetrahydrofuran, and alkanes[J]. Topics in Catalysis, 2008, 48(1/2/3/4): 49-54.
- [10] MANZER L E. Catalytic synthesis of α-methylene-γ-valerolactone: A biomass-derived acrylic monomer[J]. Applied Catalysis A: General, 2004, 272(1/2): 249-256.
- [11] LYU J K, RONG Z M, SUN L M, et al. Catalytic conversion of biomass-derived levulinic acid into alcohols over nanoporous Ru catalyst[J]. Catalysis Science & Technology, 2018, 8: 975-979.
- [12] DUTTA S, YU I K M, TSANG D C W, et al. Green synthesis of gamma-valerolactone (GVL) through hydrogenation of biomassderived levulinic acid using non-noble metal catalysts: A critical review[J]. Chemical Engineering Journal, 2019, 372: 992-1006.
- [13] XIAO Z G, WANG X, ZHAO Z P, et al. Hydrodeoxygenation of levulinic acid over Ru-based catalyst: Importance of acidic promoter [J]. Catalysis Communications, 2023, 184: 106790.
- [14] MAUMELA M, MARX S, MEIJBOOM R. Heterogeneous Ru catalysts as the emerging potential superior catalysts in the selective hydrogenation of bio-derived levulinic acid to γ-valerolactone: Effect of particle size, solvent, and support on activity, stability, and selectivity [J]. Catalysts, 2021, 11: 292.
- [15] WEI X Q, LI W Z, LIU Q Y, et al. Pore-scale investigation on multiphase reactive transport for the conversion of levulinic acid to γ-valerolactone with Ru/C catalyst[J]. Chemical Engineering Journal, 2022, 427: 130917.
- [16] ZHANG Z H. Synthesis of γ-valerolactone from carbohydrates and its applications[J]. ChemSusChem, 2016, 9(2): 156-171.
- [17] TANG X (唐兴), LI W L (李伟乐), LIU H (刘淮), *et al.* Progresses in the hydrogenation of biomass-derived levulinic acid into γ-valerolactone in aqueous and solvent-free systems[J]. Fine Chemicals (精细化工), 2021, 38(12): 2385-2392.
- [18] YAN Z P, LIN L, LIU S J. Synthesis of γ-valerolactone by hydrogenation of biomass-derived levulinic acid over Ru/C catalyst[J]. Energy & Fuels, 2009, 23(8): 3853-3858.
- [19] SERRANO-RUIZ J C, WANG D, DUMESIC J A. Catalytic upgrading of levulinic acid to 5-nonanone[J]. Green Chemistry, 2010, 12(4): 574-577
- [20] WRIGHT W R H, PALKOVITS R. Development of heterogeneous catalysts for the conversion of levulinic acid to  $\gamma$ -valerolactone[J]. ChemSusChem, 2012, 5: 1657-1667.
- [21] JIN G Q, GUO X Y. Synthesis and characterization of mesoporous silicon carbide[J]. Microporous and Mesoporous Materials, 2003, 60: 207-212
- [22] MA B, WANG Y Y, GUO X Y, et al. Photocatalytic synthesis of 2,5-diformylfuran from 5-hydroxymethyfurfural or fructose over bimetallic Au-Ru nanoparticles supported on reduced graphene oxides [J]. Applied Catalysis A: General, 2018, 552: 70-76.
- [23] WANG J R, WANG Y Y, TONG X L, et al. Highly active Ir/SiC catalyst for aqueous hydrogenation of levulinic acid to γ-valerolactone [J]. Catalysis Communications, 2020, 139: 105971-105975.
- [24] GUO X N, JIAO Z F, JIN G Q, et al. Photocatalytic fischer-tropsch synthesis on graphene-supported worm-like ruthenium nanostructures [J]. ACS Catalysis, 2015, 5(6): 3836-3840.

(下转第 1606 页)